

# I - 20 振動挾角式による立直線材ラーメンの固有周期算定法

九州大学工学部 正員 山崎徳也

" " 太田俊昭

K.K. 大林組 " O.毛利俊雄

[序言] 節点の不完全剛結性と剛域とは直線材ラーメンの振動周期に著しい影響を与える。本研究は振動挾角式を用いて、これら要素を考慮した場合の周期算定を可能にしたものであるが、平幅のみならず更に振動挾角式を併用して立直線材ラーメンの解析にも及ぶ。

## [I] 基本式の誘導

### (1) 不完全剛結性と剛域とを考慮した振動挾角式

等断面材の振動挾角式は次式で表わされる。(図-1a)

$$\left. \begin{aligned} M_{AB} &= 2EK \left\{ f_1 \theta_A + f_2 \theta_B + f_3 \frac{\Delta A}{l} - f_4 \frac{\Delta B}{l} \right\} \\ M_{BA} &= 2EK \left\{ f_2 \theta_A + f_1 \theta_B + f_3 \frac{\Delta A}{l} - f_4 \frac{\Delta B}{l} \right\} \\ -l S_{AB} &= 2EK \left\{ f_3 \theta_A + f_4 \theta_B + f_5 \frac{\Delta A}{l} - f_6 \frac{\Delta B}{l} \right\} \\ -l S_{BA} &= 2EK \left\{ f_4 \theta_A + f_3 \theta_B + f_5 \frac{\Delta A}{l} - f_6 \frac{\Delta B}{l} \right\} \end{aligned} \right\} \quad \cdots (1)$$

### (2) 不完全剛結性の導入(図-1b)

$$\Theta_A = \theta_A - \gamma_{AB} M_{AB} \quad \cdots (2) \quad \alpha = 2EK \gamma_{AB} \quad \cdots (3)$$

$$\Theta_B = \theta_B - \gamma_{BA} M_{BA} \quad \beta = 2EK \gamma_{BA}$$

### (3) 剛域の条件(図-1c, d)

剛域中心のモーメント及びせん断力を  $\bar{M}, \bar{S}$  で表わせば

$$\bar{M}_{AB} = M_{AB} - b_{AB} \delta_{AB} \quad \cdots (4) \quad \bar{\Delta}_A = \Delta_A - b_{AB} \theta_A \quad \cdots (5)$$

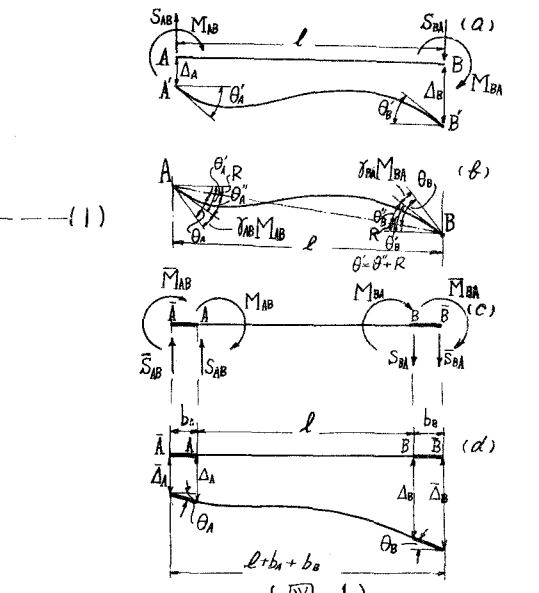
$$\bar{M}_{BA} = M_{BA} - b_{BA} \delta_{BA} \quad \cdots (6) \quad \bar{\Delta}_B = \Delta_B - b_{BA} \theta_B \quad \cdots (7)$$

以上の(1)~(7)式より、不完全剛結性と剛域とを考慮した振動挾角式が次式の如くえられる。

$$\begin{aligned} \bar{M}_{AB} &= 2EK \left\{ D_{AA} \theta_A + D_{AB} \theta_B + E_{AA} \frac{\bar{\Delta}_A}{l} - E_{AB} \frac{\bar{\Delta}_B}{l} \right\} \\ \bar{M}_{BA} &= 2EK \left\{ D_{BA} \theta_A + D_{BB} \theta_B + E_{BA} \frac{\bar{\Delta}_A}{l} - E_{BB} \frac{\bar{\Delta}_B}{l} \right\} \\ -l \bar{S}_{AB} &= 2EK \left\{ F_{AA} \theta_A + F_{AB} \theta_B + G_{AA} \frac{\bar{\Delta}_A}{l} - G_{AB} \frac{\bar{\Delta}_B}{l} \right\} \\ -l \bar{S}_{BA} &= 2EK \left\{ F_{BA} \theta_A + F_{BB} \theta_B + G_{BA} \frac{\bar{\Delta}_A}{l} - G_{BB} \frac{\bar{\Delta}_B}{l} \right\} \end{aligned}$$

但し

$$\begin{aligned} f_1 &= \frac{(l\ell)^2 (\sinh \lambda l \cosh \lambda l - \cosh \lambda l \sinh \lambda l)}{2(1 - \cosh \lambda l \cosh \lambda l)}, \quad f_2 = \frac{(l\ell)^2 (\sinh \lambda l - \cosh \lambda l)}{2(1 - \cosh \lambda l \cosh \lambda l)} \\ f_3 &= \frac{(l\ell)^2 (\sinh \lambda l \sinh \lambda l)}{2(1 - \cosh \lambda l \cosh \lambda l)}, \quad f_4 = \frac{2(l - \cosh \lambda l)(\cosh \lambda l)}{2(1 - \cosh \lambda l \cosh \lambda l)} \\ f_5 &= \frac{(l\ell)^2 (\sinh \lambda l \cosh \lambda l + \cosh \lambda l \sinh \lambda l)}{2(1 - \cosh \lambda l \cosh \lambda l)}, \quad f_6 = \frac{2(l - \cosh \lambda l)(\cosh \lambda l)}{2(1 - \cosh \lambda l \cosh \lambda l)} \\ \chi_I &= \frac{(l\ell)^4 (-\cosh \lambda l \cosh \lambda l)}{4(1 - \cosh \lambda l \cosh \lambda l)}, \quad \chi_{II} = \frac{4(l - \cosh \lambda l)(\cosh \lambda l)}{4(1 - \cosh \lambda l \cosh \lambda l)} \\ \chi_{III} &= \frac{(\lambda l)^4 (\cosh \lambda l \cosh \lambda l)}{2(1 - \cosh \lambda l \cosh \lambda l)}, \quad \chi_{IV} = \frac{l - \lambda l}{2(1 - \cosh \lambda l \cosh \lambda l)} \\ \chi_V &= \frac{1}{2}(1 - \cosh \lambda l)^2 f_6, \quad P_0 = 1 + (d + \beta) f_1 + d \beta f_3 \end{aligned}$$



$D_{AA}$	$(f_1 + \beta f_3) + 2(f_3 + \frac{\beta}{2} f_5 \frac{\Delta A}{l}) + (f_5 + \alpha K_I + \beta K_{II} + \frac{\alpha \beta}{2} K_{IV}) \frac{\Delta A^2}{l^2}$
$D_{AB}$	$f_2 + (f_3 + \frac{\alpha}{2} f_5 \frac{\Delta B}{l}) + (f_4 + \frac{\beta}{2} f_6 \frac{\Delta B}{l}) + (f_5 + (\alpha + \beta) K_{II} + \frac{\alpha \beta}{2} K_{IV}) \frac{\Delta B^2}{l^2}$
$D_{BB}$	$(f_2 + \alpha f_3) + 2(f_3 + \frac{\alpha}{2} f_5 \frac{\Delta B}{l}) + (f_5 + \beta K_I + \alpha K_{II} + \frac{\alpha \beta}{2} K_{IV}) \frac{\Delta B^2}{l^2}$
$E_{AA}$	$(f_3 + \frac{\beta}{2} f_5) + (f_5 + \alpha K_I + \beta K_{II} + \frac{\alpha \beta}{2} K_{IV}) \frac{\Delta A^2}{l^2}$
$E_{BA}$	$(f_3 + \frac{\beta}{2} f_5) + (f_5 + (\alpha + \beta) K_{II} + \frac{\alpha \beta}{2} K_{IV}) \frac{\Delta A^2}{l^2}$
$E_{BB}$	$(f_3 + \frac{\beta}{2} f_5) + (f_5 + \beta K_I + \alpha K_{II} + \frac{\alpha \beta}{2} K_{IV}) \frac{\Delta B^2}{l^2}$
$F_{AA}$	$(f_3 + \frac{\beta}{2} f_5) + (f_5 + \alpha K_I + \beta K_{II} + \frac{\alpha \beta}{2} K_{IV}) \frac{\Delta A^2}{l^2}$
$F_{AB}$	$(f_3 + \frac{\beta}{2} f_5) + (f_5 + (\alpha + \beta) K_{II} + \frac{\alpha \beta}{2} K_{IV}) \frac{\Delta A^2}{l^2}$
$F_{BA}$	$(f_3 + \frac{\beta}{2} f_5) + (f_5 + \beta K_I + \alpha K_{II} + \frac{\alpha \beta}{2} K_{IV}) \frac{\Delta B^2}{l^2}$
$F_{BB}$	$(f_3 + \frac{\beta}{2} f_5) + (f_5 + \beta K_I + \alpha K_{II} + \frac{\alpha \beta}{2} K_{IV}) \frac{\Delta B^2}{l^2}$
$G_{AA}$	$f_5 + d K_I + \beta K_{II} + \frac{1}{2} d \beta K_{IV}$
$G_{AB}$	$f_5 + (\alpha + \beta) K_{II} + \frac{1}{2} d \beta K_{IV}$
$G_{BA}$	$f_5 + \beta K_I + d K_{II} + \frac{1}{2} d \beta K_{IV}$
$G_{BB}$	$f_5 + (\alpha + \beta) K_{II} + \frac{1}{2} d \beta K_{IV}$

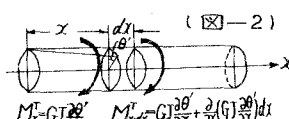
(表-1)

### (2) 振動挾角式の誘導(等断面)(図-2参照)

振り振動に関する微分方程式

$$\frac{d^2 \theta'}{dt^2} = C^2 \frac{d^2 \theta'}{dx^2} \quad \cdots (6) \quad \text{ここで } C^2 = \frac{GJ}{J^2 I_p}$$

但し  $GJ$ : 振り剛性  $J$ : 密度  $I_p$ : 極慣性モーメント



$$(6) \text{ 式を基準函数 } X \text{ を用いて解けば } X = C_1 \cos \tilde{\omega} t + C_2 \sin \tilde{\omega} t \quad (7)$$

$$\begin{aligned} \text{境界条件として} \quad \theta_A = X(x=0) & \quad M_{AB}^T = (-GJ \frac{\partial X}{\partial x}(x=0)) \\ \theta_B = X(x=l) & \quad M_{BA}^T = (+GJ \frac{\partial X}{\partial x}(x=l)) \end{aligned} \quad (8)$$

(7)(8)式より次の振動振り角式となる。

$$\begin{aligned} M_{AB}^T &= GJ \left[ f_1^T \theta_A + f_2^T \theta_B \right] \\ M_{BA}^T &= GJ \left[ f_1^T \theta_A + f_2^T \theta_B \right] \end{aligned}$$

$$\text{但し} \quad \begin{cases} f_1^T = (2l) \cot \tilde{\omega} l \\ f_2^T = -(2l) \cosec \tilde{\omega} l \end{cases}$$

$$T = \sqrt{I_p P / GJ} \quad (\text{図-3})$$

### III 平面テーメンの固有周期

(1) 不完全剛結特性考慮 $\Rightarrow$  図-3 の如き片持梁を例にとって。

モーメント及せん断力の釣合式:  $M_{BA}=0, S_{BA}=0$

境界条件 ( $\theta_A = \Delta_A = b_A = 0, b_B = \beta = 0$ ) を考慮すれば、次の周期方程式を得る。

$$\begin{vmatrix} f_1 + \alpha f_3 & f_2 + \frac{1}{2} \alpha f_5 \\ f_3 + \frac{1}{2} \alpha f_5 & f_5 + \alpha x_I \end{vmatrix} = 0 \quad (9)$$

(9)式より  $\alpha, l, r$  及  $P$  の関係を示せば図-3 の如く。

(2) 不完全剛結性・剛域の影響をみるため図-4 の如き門形テーメンを取扱う。

$$\begin{aligned} \text{節束方程式: } M_{BA} + M_{BC} = 0, M_{BC} + M_{CD} = 0 \\ \text{層方程式: } S_{BA} + S_{BD} + f = 0 \end{aligned} \quad (10)$$

$\therefore f = -P^2 m \Delta$ : 慣性力,  $m$ : 質量,  $\Delta$ : 変位

$$(10) \text{ 式を解けば} \quad \begin{vmatrix} (D_{BB})_{bb} + \frac{K_1}{K_2} (D_{AB})_{bc} & (E_{BB})_{ab} \\ \frac{K_1}{K_2} (D_{BB})_{bc} & (D_{BB})_{dd} + \frac{K_1}{K_2} (D_{CD})_{dc} \\ (F_{BB})_{bb} & (F_{BB})_{dc} \end{vmatrix} = 0$$

$$\therefore X = (G_{BB})_{bb} + (G_{BB})_{dc} + \frac{m^2 P^2}{2 E K} P^2$$

上式の計算結果を図-4 に示す。

### III 立体テーメンの振動: 図-5 の如き立体直線テーメン(矢印方向に加

速度  $a$  を与える場合の固有周期を算定する。(但し  $\theta$  及  $M$  は負軸に向かう右

斜わりと正とする) テーメンの対称性を考慮して節束方程式・層方程式と立てれば

$$M_{ABD} + M_{XBF} + M_{BA}^T + M_{BC}^T = 0$$

$$M_{CFH} + M_{XFB} + M_{FE}^T + M_{FG}^T = 0$$

$$S_{ZBA} + S_{ZFE} - S_{ZBC} - S_{ZFG} + S_{ZBD} + S_{ZFH} = P^2 J_p A l \Delta_{BZ}$$

(11)式に境界条件を考慮すれば周期方程式は

$$\begin{vmatrix} 2f_1 + \frac{GJ}{EI} f_1^T & f_2 & f_3 \\ f_2 & 2f_1 + \frac{GJ}{EI} f_1^T & f_3 \\ f_3 & f_3 & 6f_5 - \frac{PAl^2}{2EI} P^2 \end{vmatrix} = 0$$

$$\text{この式より } P = 41.987 \text{ rad} / 2\pi \text{ sec}$$

尚不完全剛結性及剛域を考慮する場合は、平面テーメンに準じてモーメント・せん断力に適応した式を用いればよい。

(図-5)

[参考文献] (1) 小野薰: “振動振り角法と其の実用化” 建築学会大会論文集, 昭和12年3月.

(2) Grover L. Rogers, "Dynamics of Framed Structures" 1959, John Wiley & Sons.

(3) T. Yamazaki "Analysis of Semi-Rigid Frame with Curved Members considering the Effect of Rigid Joint-Width", Proc. of the 12th Japan Nat. Congr. for Appl. Mech. 1962

